

# Projet EDP - Rapport

BOUKRAICHI Hamza - 2INH

April 6, 2018

## Contents

<b>1</b>	<b>Introduction</b>	<b>2</b>
<b>2</b>	<b>Partie Théorique</b>	<b>2</b>
2.1	Mise sous forme variationnelle . . . . .	2
2.2	Démonstration de l'unicité de la solution . . . . .	3
2.3	Aboutissement au système linéaire . . . . .	4
<b>3</b>	<b>Mise en oeuvre pratique</b>	<b>5</b>
3.1	Calcul de la matrice sur les éléments Quadrangle . . . . .	5
<b>4</b>	<b>Compléments d'analyse du système issu de la discrétisation</b>	<b>7</b>
4.1	Analyse de l'ordre du schéma de discrétisation dans le cas d'éléments Triangle . . . . .	7
4.2	Résolution du système linéaire par une méthode directe . . . . .	8
<b>5</b>	<b>Conclusion</b>	<b>9</b>
<b>6</b>	<b>Annexe</b>	<b>10</b>

# 1 Introduction

Ce projet a pour but d'approcher une solution d'un problème dit de Laplace en deux dimensions muni de conditions aux limites mixtes (Dirichlet et Neumann) :

$$\left\{ \begin{array}{ll} -\Delta u(x, y) = f(x, y) & \text{sur } \Omega, \\ u(x, y) = u_d & \text{sur } \partial\Omega_d, \\ \frac{\partial u(x, y)}{\partial n} = g(x, y) & \text{sur } \partial\Omega_n \end{array} \right.$$

$$\Omega = ]0, 1[ \times ]0, 1[ \subset \mathbf{R}^2 \text{ et } \Omega = \partial\Omega_d \cup \partial\Omega_n.$$

$$f \in L^2(\Omega) \text{ et } u_d \in L^2(\partial\Omega_d) \text{ et } g \in L^2(\partial\Omega_n).$$

Grâce à la méthode des éléments finis de Lagrange de types P1 et Q1.

## 2 Partie Théorique

### 2.1 Mise sous forme variationnelle

Soit  $u \in H^1(\Omega)$  et  $H_0^1(\Omega) = \{u \in H^1(\Omega) \mid u = 0 \text{ sur } \partial\Omega_n\}$ .

On pose  $v = u - u_d$  sachant que  $u - u_d \in H_0^1(\Omega)$ .

On a donc en considérant les distributions associées :

$$\forall w \in H_0^1(\Omega) \int_{\Omega} \Delta u w \, \partial x = \int_{\Omega} f w \, \partial x$$

Puis selon la formule de Green :

$$\forall u \in H^2(\Omega) \int_{\Omega} \nabla u \nabla w \, \partial x + \int_{\Omega} \Delta u w \, \partial x = \int_{\partial\Omega} \gamma_1(u) \gamma_0(w) \, \partial \gamma$$

Puis en introduisant  $v$  on obtient :

$$\int_{\Omega} (\nabla v + \nabla u_d) \nabla w \, \partial x = \int_{\Omega} f w \, \partial x + \int_{\partial\Omega_n} \gamma_1(u) \gamma_0(w) \, \partial \gamma + \int_{\partial\Omega_d} \gamma_1(u) \gamma_0(w) \, \partial \gamma$$

Et sachant que  $\gamma_0(w) = 0$  sur  $\partial\Omega_d$ ,  $\gamma_0(w) = w$  sur  $\partial\Omega_n$  et  $\gamma_1(u) = g$  sur  $\partial\Omega_n$  on peut conclure :

$$\int_{\Omega} \nabla v \nabla w \, \partial x = \int_{\Omega} f w \, \partial x + \int_{\partial\Omega_n} g w \, \partial \gamma - \int_{\partial\Omega_d} \nabla u_d \nabla w \, \partial \gamma.$$

## 2.2 Démonstration de l'unicité de la solution

$\Omega$  étant borné, grâce à l'inégalité de Poincaré on peut se placer dans

$(H_0^1(\Omega), <, >_{0,1})$  qui est un Hilbert.

On prend alors  $\forall v, w \in H_0^1(\Omega)$  :

$$\left\{ \begin{array}{l} a(v, w) = \int_{\Omega} \nabla v \nabla w \partial x \\ l(w) = l_1(w) + l_2(w) + l_3(w) \\ l_1(w) = \int_{\Omega} f w \partial x \quad l_2(w) = \int_{\partial\Omega_n} g w \partial \gamma \quad l_3(w) = - \int_{\partial\Omega_d} \nabla u_d \nabla w \partial \gamma \end{array} \right.$$

Vérifions les conditions d'application du théorème de **Lax-Milgram** :

- a étant le produit scalaire sur  $H_0^1(\Omega)$  on peut en déduire que a est une forme bilinéaire et grâce à l'inégalité de Cauchy-Schwarz :

$$\forall v, w \in H_0^1(\Omega) : |a(v, w)| \leq \|v\|_{0,1} \|w\|_{0,1}$$

On déduit la continuité de a. Or :

$$\forall v \in H_0^1(\Omega) : |a(v, w)| \geq \|v\|_{0,1}^2$$

On en déduit la coercivité de a. a est donc une forme bilinéaire continue et coercive.

- $l_1$  et  $l_2$  et  $l_3$  sont bien à valeurs dans  $\mathbf{R}$  et sont linéaires compte tenu de la linéarité de l'intégrale et de  $\gamma_0$ .

En notant  $C$  la constance de Poincaré et en appliquant l'inégalité de Cauchy-Schwarz sur  $L^2(\Omega)$ ,  $L^2(\partial\Omega)$  et  $H_0^1(\Omega)$  on obtient :

$$\left\{ \begin{array}{l} |l_1(w)| \leq \|f\|_{L^2(\Omega)} \|w\|_{L^2(\Omega)} \leq (1+c) \|f\|_{L^2(\Omega)} \|w\|_{0,1} \\ |l_2(w)| \leq \|g\|_{L^2(\partial\Omega)} \|w\|_{L^2(\partial\Omega)} \leq (1+c) \|g\|_{L^2(\partial\Omega)} \|w\|_{0,1} \\ |l_3(w)| = |< u_d, w >_{0,1}| \leq \|u_d\|_{0,1} \|w\|_{0,1} \end{array} \right.$$

D'où la continuité de  $l_1$  et  $l_2$  et  $l_3$  et par conséquent celle de l.

Ainsi les conditions de **Lax-Milgram** sont vérifiées, et par application de ce dernier :

$$\exists! v \in H_0^1(\Omega), \forall w \in H_0^1(\Omega), a(v, w) = l(w).$$

### 2.3 Aboutissement au système linéaire

Notons  $V = Vect((\eta_k)_{k \in 1..n})$ , soit alors  $v \in V$  tel que  $V = \sum_{k=1}^n x_k \eta_k$ .

On a  $\forall i \in 1..n \eta_i \in H_0^1(\Omega)$  et donc :

$$\int_{\Omega} \nabla v \nabla \eta_i \partial x = \int_{\Omega} \sum_{k=1}^n \nabla \eta_k^T \nabla \eta_i x_k \partial x = \int_{\Omega} f \eta_i \partial x + \int_{\partial \Omega_n} g \eta_i \partial \gamma - \int_{\partial \Omega_d} \nabla u_d \nabla \eta_i \partial \gamma.$$

Donc on a bien  $\forall i \in 1..n \sum_{k=1}^n A_{ki} x_k = b_i$ . avec :

$\forall i, j \in 1..n :$

$$\begin{cases} A_{i,j} = \int_{\Omega} \nabla \eta_i^T \nabla \eta_j \partial x \\ b_i = \int_{\Omega} f \eta_i \partial x + \int_{\partial \Omega_n} g \eta_i \partial \gamma - \int_{\partial \Omega_d} \nabla u_d \nabla \eta_i \partial \gamma \end{cases}$$

Ainsi on aboutit au système  $Ax = b$ .

Montrons l'unicité de la solution : étant en dimension finie et A est une matrice carrée, il suffit de montrer qu'elle est injective.

$$\text{On } \forall x \in V \quad Ax = ([\sum_{k=1}^n a(\eta_k, \eta_i) x_k]_i)_{i \in 1..n}$$

Soit alors  $x \in V$  tel que  $Ax = 0$

$$\text{On a donc } \forall i \in 1..n \sum_{k=1}^n a(\eta_k, \eta_i) x_k = 0$$

D'où par linéarité de a par rapport à la première variable :

$$\forall i \in 1..n \quad a(\sum_{k=1}^n \eta_k x_k, \eta_i) = 0$$

$$\text{Ainsi : } (1) \forall i \in 1..n \quad a(x, \eta_i) = 0$$

Puisque V est un sous espace vectoriel de  $H_0^1(\Omega)$  et a est le produit scalaire sur  $H_0^1(\Omega)$  donc c'est un produit scalaire sur V aussi.

Donc selon (1), x est orthogonale à tous les éléments de la base de V, donc x = 0. Donc A est injective et par conséquent bijective. On en déduit l'existence et l'unicité de la solution.

### 3 Mise en oeuvre pratique

#### 3.1 Calcul de la matrice sur les éléments Quadrangle

En utilisant la méthode de l'élément de référence avec :

$$\begin{aligned} \phi_Q : [0, 1] \times [0, 1] &\rightarrow Q \\ (\alpha, \beta) &\mapsto ((x_2 - x_1)\alpha + (x_4 - x_1)\beta + x_1, (y_2 - y_1)\alpha + (y_4 - x_1)\beta + y_1) \end{aligned}$$

Où les  $(x_i, y_i)$  sont les sommets du quadrangle.

Et :

$$\begin{cases} \phi_1(\alpha, \beta) = (1 - \alpha)(1 - \beta) & | & \phi_2(\alpha, \beta) = \alpha(1 - \beta) \\ \phi_3(\alpha, \beta) = \alpha\beta & | & \phi_4(\alpha, \beta) = (1 - \alpha)\beta \end{cases}$$

Et  $\psi = |J_{\phi_Q}|$

Après application de la formule de changement de variable on abouti à :

$$\forall i, j \in 1..n \quad M_{ij} = \int_U \nabla \phi_i(u, v)^T (J_{\phi_Q}^T J_{\phi_Q})^{-1} \phi_j(u, v) |J_{\phi_Q}| \partial u \partial v$$

On a aussi  $J_{\phi_Q}^T J_{\phi_Q}$  est symétrique donc son inverse l'est aussi on note alors

$$(J_{\phi_Q}^T J_{\phi_Q})^{-1} = \begin{pmatrix} a & b \\ b & c \end{pmatrix}$$

On explicitera le calcul de 2 intégrales puis on donnera la forme de la matrice en fonction de a, b et c.

On a donc :

$$\begin{aligned} M_{1,1} &= \psi \int_0^1 \int_0^1 \nabla \phi_1(u, v)^T \begin{pmatrix} a & b \\ b & c \end{pmatrix} \phi_1(u, v) \partial u \partial v \\ &= \psi \int_0^1 \int_0^1 (v - 1 \quad u - 1) \begin{pmatrix} a & b \\ b & c \end{pmatrix} \begin{pmatrix} v - 1 \\ u - 1 \end{pmatrix} \partial u \partial v \\ &= \psi \int_0^1 \int_0^1 \begin{pmatrix} a(v - 1) & b(u - 1) \\ b(v - 1) & c(u - 1) \end{pmatrix} \begin{pmatrix} v - 1 \\ u - 1 \end{pmatrix} \partial u \partial v \\ &= \psi \int_0^1 \int_0^1 (a(v - 1)^2 + 2 * b(u - 1)b(v - 1) + c(u - 1)^2) \partial u \partial v \\ &= \psi (a \int_0^1 (v - 1)^2 \partial v + 2 * b \int_0^1 \int_0^1 (u - 1)(v - 1) \partial u \partial v + c \int_0^1 (u - 1)^2 \partial u) \end{aligned}$$

$$= \psi(a/3 + b/2 + c/3)$$

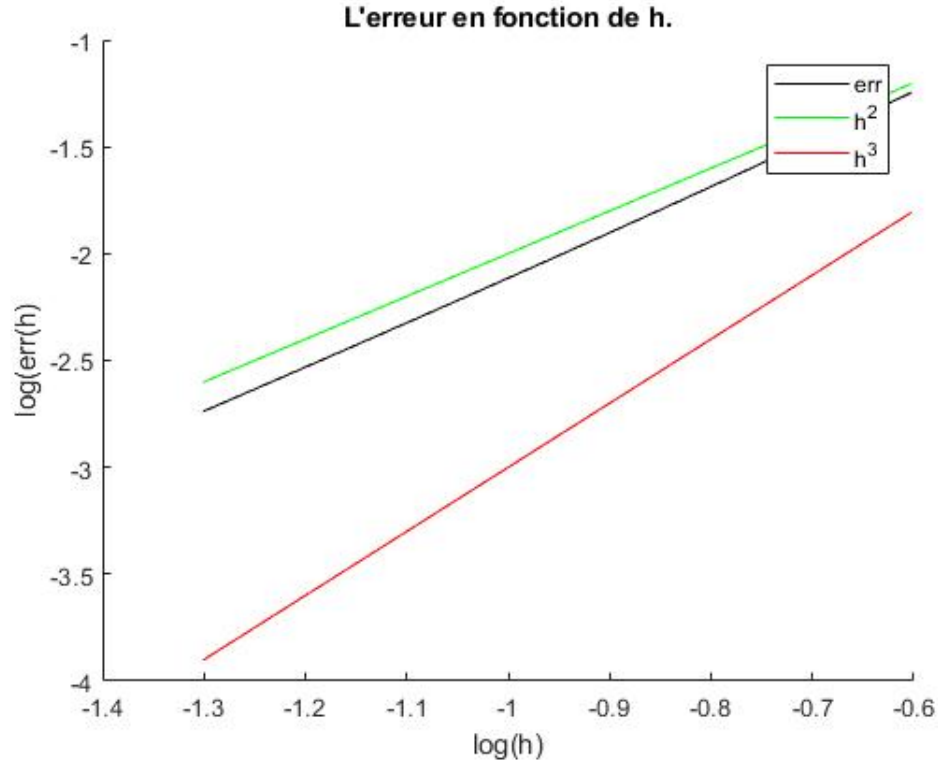
$$\begin{aligned}
M_{1,2} &= \psi \int_0^1 \int_0^1 \nabla \phi_1(u, v)^T \begin{pmatrix} a & b \\ b & c \end{pmatrix} \phi_2(u, v) \partial u \partial v \\
&= \psi \int_0^1 \int_0^1 (v-1 \quad u-1) \begin{pmatrix} a & b \\ b & c \end{pmatrix} \begin{pmatrix} 1-v \\ -u \end{pmatrix} \partial u \partial v \\
&= \psi \int_0^1 \int_0^1 \begin{pmatrix} a(v-1) & b(u-1) \\ b(v-1) & c(u-1) \end{pmatrix} \begin{pmatrix} 1-v \\ -u \end{pmatrix} \partial u \partial v \\
&= \psi \int_0^1 \int_0^1 (-a(v-1)^2 - b(2u-1)(v-1) - cu(u-1)) \partial u \partial v \\
&= \psi (-a \int_0^1 (v-1)^2 \partial v - b \int_0^1 \int_0^1 (2u-1)(v-1) \partial u \partial v - c \int_0^1 u(u-1) \partial u) \\
&= \psi(-a/3 + c/6)
\end{aligned}$$

Par même calcul on abouti à :

$$M = \psi/6 \begin{pmatrix} 2a+3b+2c & -2a+c & -a-3b-c & a-2c \\ -2a+c & 2a-3b+2c & 3b+2c & -a+3b-c \\ -a-3b-c & a-2c & 2a+3b+2c & -2a+c \\ a-2c & -a-3b-c & -2a+c & 2a-3b+2c \end{pmatrix}$$

## 4 Compléments d'analyse du système issu de la discrétisation

### 4.1 Analyse de l'ordre du schéma de discrétisation dans le cas d'éléments Triangle



- On remarque que la courbe de l'erreur est très proche de  $h \mapsto h^2$  tout en étant parallèle, on en déduit que l'ordre de discrétisation est de 2.
- En reprenant l'analyse faite en cours sur les éléments P1, on abouti au résultat :

$$\|\nabla u - \nabla v\|_2 \leq (3/2 M_2) h(\tau)h(\tau)/\rho(\tau) \text{ pour tout triangle } \tau \text{ de } \Omega$$

Où  $u$  : solution exacte,  $v$  définie sur les éléments  $P_1$ ,  $h(\tau)$  : diamètre du triangle  $\tau$ ,  $\rho(\tau)$ : rayon du cercle inscrit au triangle  $\tau$ , et  $M_2$  majorant de l'ensemble  $\{\nabla^2 u(\psi), \psi \in \Omega\}$ .

Or les triangles  $\tau \in \Omega$  sont tous isométriques donc  $\forall \tau \in \Omega \quad \rho(\tau) = cte = \rho$ .

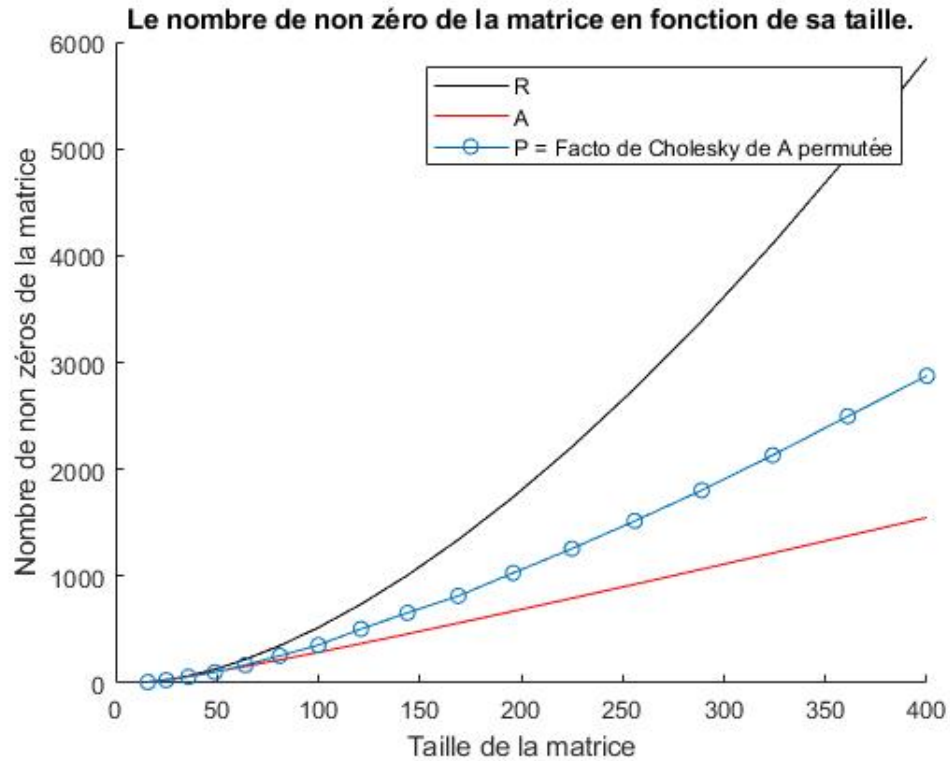
D'où :  $\forall \tau \in \Omega \quad \|\nabla u - \nabla v\|_2 \leq (3/2 M_2) h^2 / \rho$  où  $h = \max_{\tau \in \Omega} h(\tau)$ .

En reprenant les mêmes calculs on abouti à :

$$\|u - u_h\| \leq \left(\frac{3M_2}{2\rho}\right) \sqrt{A(\Omega)} h^2.$$

On a bien la méthode d'éléments finis convergente à l'ordre 2, donc l'ordre de discrétisation théorique correspond à l'ordre empirique.

## 4.2 Résolution du système linéaire par une méthode directe



- On remarque que la matrice  $A$  est plus intéressante au niveau du stockage que sa factorisation de Cholesky  $R$ .
- Le comportement mis en évidence est que la factorisation de Cholesky d'une matrice creuse est généralement plus dense.
- Afin de réduire le coût mémoire de cette factorisation, il suffira de permuter les vecteurs de la matrice  $A$  de façon à ce que sa factorisation de Cholesky



soit la moins dense possible. Et ceci est réalisé avec la fonction matlab **symand**.

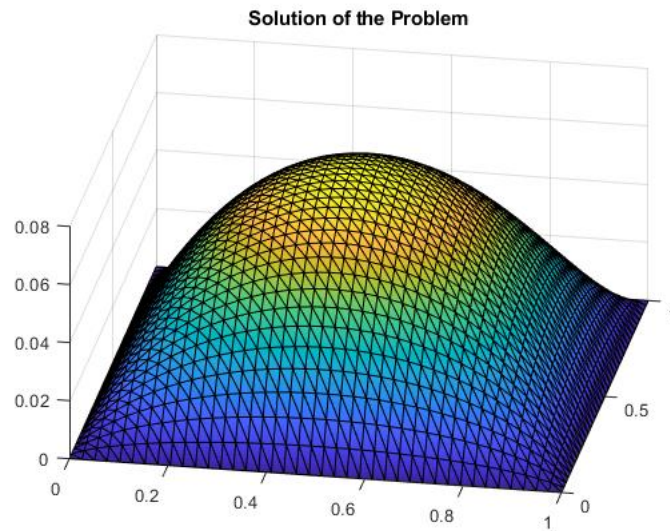
## 5 Conclusion

Ce projet m'a permis d'approfondir mes connaissances acquises en cours d'EDP en les confrontant à un exemple réel, mais aussi de manipuler et de découvrir les éléments finis Q1, connaissances que je souhaite encore plus approfondir lors de mon stage de 2<sup>ieme</sup> année non seulement d'un point de vue théorique mais aussi pratique.

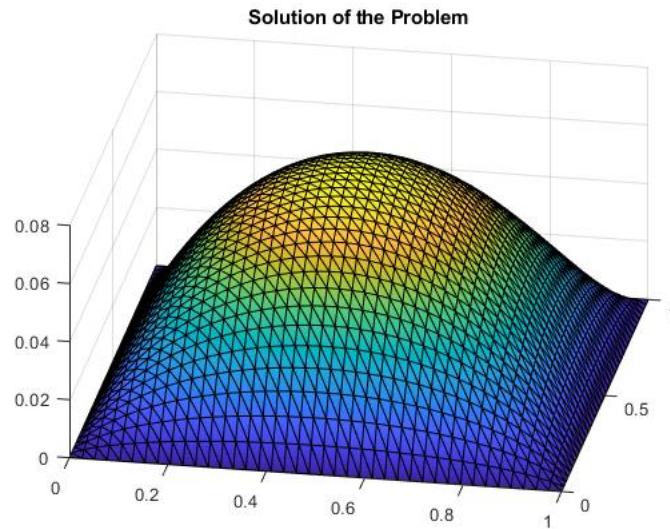
## 6 Annexe

Cette annexe contient les différents résultats d'exécution de **elliptic.m**.

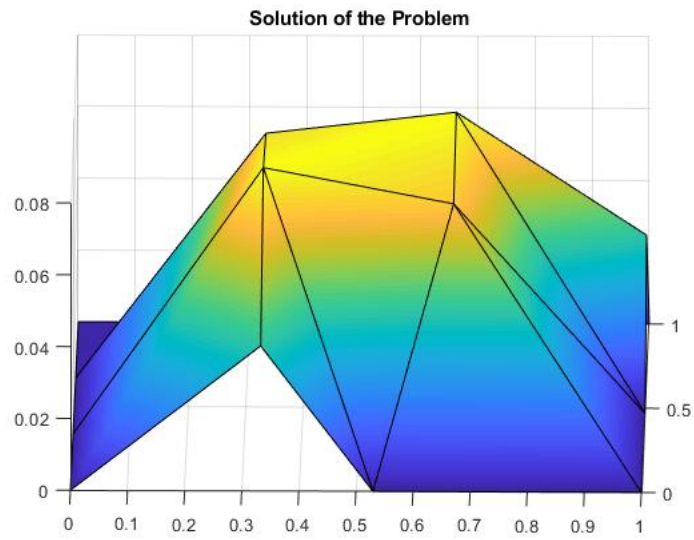
- Solution sur le maillage de taille  $n=40$  triangulaire et résolution directe.



- Solution sur le maillage de taille  $n=40$  triangulaire et résolution par factorisation de cholesky.



- Solution sur le maillage fourni (P1 + Q1) pour  $u_d = 0$  et  $g = 0$ .



- Solution sur le maillage fourni (P1 + Q1) pour  $u_d = 1$  et  $g = 1$ .

